Джонса к оптическим интегральным устройствам [Belea A. J. Optics (Paris), 1992. Vol. 23. N 1. P. 19—26].

# Список литературы

- Валнев К. А., Раков А. В. Физические основы субмикронной литографии в микроэлектронике. М.: Радио и связь, 1984.
- Аззам Р., Башара Н. Эллипсометрия и поляризованный свет. М.: Мир, 1981. 581 с.

- Ayazi F., Najafi K. High aspect ratio polysilicon micromashining technology // Sensors & Actuators. 2000. V. 87. P. 46—51.
- McNie M., King D., Vizard C., Holmes A., Lee K. W. High aspect ratio micromashining (HARM) technologies // Microsystem technologies. 2000. V. 6. P. 184—188.
- Kupka R. K., Bouamrane F., Cremers C., Megtert S. Microfabrication: X-LIGA and application // Appl. Surf. Sci. 2000.
   V. 164. P. 97—100.
- Борн М., Вольф Э. Основы оптики.: Наука, 1972.
- Сивухии Д. В. Общий курс физики.
   Оптика М.: Наука, 1980.
- Goodman J. W. Introduction to Fourier Optics / VcGraw-Hill. N.-Y., 1996.

- Хинчин Спектры и анализ М.: Наука, 19
- Yee G. V., Maluf N. I., Albin M., Kovacs G. T. A. Miniature spectrometers for biochemical analysis // Sensor&Actuators A. 1997. V. 58. P. 61–66.
- 11. Kong S. H., Wijngards D. D. L., Wolffenbuttel R. F. Infrared micro-spectrometer based on a diffraction grating // Sensor&Actuators. 2001. V. A 92. P. 88—95.
- Cooper E. R., Post E. R., Griffith S., Levitan J., Mandis S. D., Quate C. F. Interferometrical accelerometer with high resolution // Applied Physics Letters. 2000. V. 22. N 22. P. 3316—3318.
- Madou M. J. Fundamentals of Microfabrication: the Seience of Miniaturization. CRS Press. 2001.

# УДК 512.628.2

# Е. В. Новожилов,

Московский Государственный Университет им. М. В. Ломоносова Факультет Вычислительной Математики и Кибернетики

# О ПРИВЕДЕНИИ К ПРОСТЕЙШЕМУ ВИДУ ДИФФЕРЕНЦИАЛЬНО-АЛГЕБРАИЧЕСКИХ СИСТЕМ ДЛЯ РАСЧЕТА ЭЛЕКТРОННЫХ ЦЕПЕЙ

Рассматриваются системы линейных дифференциально-алгебраических уравнений с переменными коэффициентами, удовлетворяющими специальным условиям постоянства ранга. Системы данного типа возникают, в частности, при решении таких прикладных задач, как моделирование электронных цепей, химических реакций (определенного типа), а также задачи расчета динамики различных транспортных систем (в том числе на макроуровне). Предлагается метод приведения таких систем к определенной простейшей форме, основанный на построении итерационной процедуры. Предложенный метод применим для систем с любым значением индекса и может быть использован для численного решения дифференциально-алгебраических систем при моделировании процессов в перечисленных прикладных задачах.

# Введение

В современных методах расчета моделируемых электронных цепей [1]—[3] наиболее часто используется метод узлового анализа зарядов [4], [5]. Однако такой метод имеет один существенный недостаток: коэффициенты возникающих при этом

дифференциально-алгебраических уравнений обладают недостаточной гладкостью. Индекс<sup>1</sup> таких систем может быть равен 2 и при этом системы могут не иметь нормальной формы Хессенберга (Hessenberg F.) [6]. Метод узлового анализа зарядов электронных цепей приводит к системам вида

$$A\dot{q} + f(x) = r(t);$$
  
$$q - g(x) = 0,$$

где вектор неизвестной функции (х, q) содержит:

- потенциал и узлов цепи;
- силу тока І элементов цепи с управляемым напряжением;
- заряд конденсаторов Q;
- магнитный поток Ф катушек индуктивности.

Предполагаем, что электронная цепь содержит динамические элементы: элементы емкостного сопротивления (конденсаторы) и катушки индуктивности. Для примера рассмотрим модель электронной цепи одного из наиболее распространенных элементов в интегральных схемах — логического элемента "И—НЕ" (NAND-gate).

### Пример

Элемент "И—НЕ" состоит из двух обогащенных МОП-транзисторов с каналом *n*-типа (МЕ), одного ослабленного (обедненного) МОП-транзистора с каналом *n*-типа (МD) и заряженного конденсатора (С) (рис. 1). МОП-схемы, как правило, не содержат других элементов кроме МОП-транзисторов,

<sup>&</sup>lt;sup>1</sup>Число последовательных операций дифференцирования для сведения к простейшей форме.

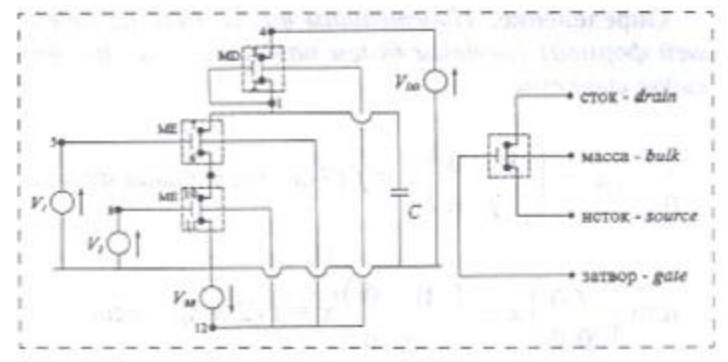


Рис. 1. Элемент "И-НЕ" и схема МОП-транзистора

которые могут также выполнять функцию управляемых резисторов. В нашем примере таковым является обедненный МОП-транзистор (MD), для этой цели в его схеме соединены затвор и исток.

Напряжение на стоке d (drain) транзистора MD равно  $V_{DD} = 5$  В. Массы b (bulk) транзисторов не заземлены и  $V_{BB} = -2.5$  В. Истоки s (source) обоих транзисторов МЕ заземлены, напряжение на их затворах g (gate) соответственно равно  $V_1$  и  $V_2$ . Более подробная (точнее отражающая физическую структуру) схема МОП-транзистора дана в работе [5]. При расчете этой модели будет получена система с индексом 2.

Работу транзистора в соответствии с приведенной схемой можно описать так. Ток  $i_{ds}$  может протекать от стока к истоку тогда и только тогда, когда управляющее напряжение  $U_{gs}$  между затвором и истоком больше, чем пороговое напряжение (значение которого зависит от конкретной применяемой технологии)  $U_T$ . Затвор изолирован от канала сток—исток тонким слоем двуоксида кремния (SiO<sub>2</sub>); т. е. сопротивление  $R_{sd}$  между истоком и стоком почти "бесконечно" большая величина ( $\sim$ 10<sup>15</sup> Ом).

При использовании метода узлового анализа зарядов в результате расчета получаем системы дифференциально-алгебраических уравнений с размерностью коэффициентов 29 × 29 (эту систему можно получить, если записать закон Кирхгофа для каждого из двенадцати узлов, обозначенных на схеме элемента). Не будем выписывать здесь все уравнения системы (система полностью приведена и рассмотрена в работе [1]), запишем только по одному уравнению (в качестве типового) из трех основных частей системы.

 Дифференциальная часть системы — 12 уравнений для значений зарядов; одно из уравнений дифференциальной части имеет вид:

$$-\dot{Q}_{1gs} - \dot{Q}_{1bs} + \frac{u_2 - u_1}{R_s} + \frac{u_2 - u_3}{R_{sd}} + i_{ds}^D(u_3 - u_2, u_1 - u_2, u_{12} - u_2) = 0.$$

 Четыре характеристических уравнения для напряжений истоков типа

$$u_{12} - V_{BB} = 0.$$

 Для емкостей — 13 характеристических уравнений типа

$$Q_{1gs} - q_{gs}(u_1 - u_2) = 0.$$

В результате моделирования с использованием, например, метода обратного дифференцирования (BDF) исходной системы можно получить следующую зависимость выходного сигнала в узле  $u_1$  от значений напряжения на входах  $V_1$ ,  $V_2$  (рис. 2). Значение  $u_1$  мало (FALSE) тогда и только тогда, когда  $V_1$  и  $V_2$  имеют наибольшее значение (TRUE). На рисунке изображены численные результаты моделирования. Например, можно видеть, что отрезки времени [10 нс, 15 нс] и [50 нс, 55 нс] являются критическими при оценке уровня напряжения. И поэтому при установке порогового напряжения необходимо учитывать разницу двумя минимальными значениями: 1) локального минимума в точ- $\max (12.5 + 40n)$  нс; 2) почти постоянного минимального значения на отрезках [(25 + 40n) нс, (30 + 40n) Hc].

Задача по упрощению систем дифференциально-алгебраических уравнений для расчета даже такого простого элемента электронной цепи имеет важное значение, поскольку позволяет уменьшить дифференциальную часть без изменения степени гладкости коэффициентов. В качестве объекта упрощения выберем общий вид линейной системы.

#### Рассматриваемые системы

Рассматриваются системы линейных дифференциально-алгебраических уравнений. Напомним, что дифференциально-алгебраической системой называется система уравнений вида [11]

$$A(t)\dot{x} + B(t)x = f, \tag{1}$$

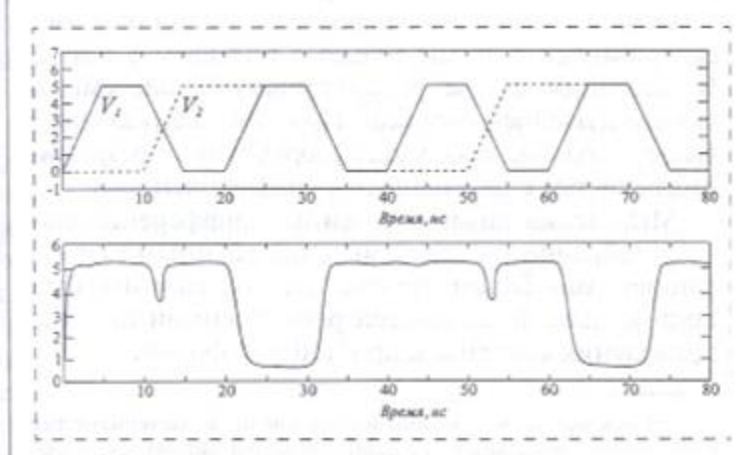


Рис. 2. Выходной сигнал в узле 1

A(t), B(t) — коэффициенты, зависящие от переменной  $t \in S \subset \mathbb{R}_1$ .

Старший коэффициент A(t) системы (1) является, вообще говоря, вырожденным, т. е. соответствующая матрица вырождена. Поэтому система (1) может содержать и чисто алгебраические уравнения.

Основной задачей, которой посвящена данная статья, является задача о приведении системы дифференциально-алгебраических уравнений к простейшему виду, т. е. к виду, при котором система содержит минимальное число дифференциальных уравнений.

Простейшим случаем систем указанного типа является случай систем с постоянными коэффициентами. Наиболее известные [12] из уже существующих методов исследования систем с постоянными коэффициентами - это методы, связанные с приведением системы к нормальной форме Кронекера, а также метод, в котором используется так называемый проектор Дрезина и спектральные проекторы. В ином подходе [13] для упрощения системы используется разбиение с помощью специальной последовательности проекторов, называемой цепным проектором. В работе [14] для упрощения систем был предложен специальный метод выбора последовательности проекторов (канонические проекторы). В работе [15] этот метод был усовершенствован. А именно, оказалось, что при выполнении определенных условий, накладываемых на коэффициенты, исходная система может быть сведена к нормальной форме Кронекера с нильпотентной цепной матрицей Жордана в качестве коэффициента при производной в одной из двух получающихся подсистем.

Приведение к нормальной форме Кронекера позволяет разделить исходную систему на две подсистемы: дифференциальную, разрешенную относительно производной неизвестной функции, и дифференциальную, разрешенную относительно самой функции. Но при этом общее число дифференциальных уравнений не уменьшается.

Отметим также, что в перечисленных работах рассматриваются системы только с индексом 1 или 2. В настоящей статье рассматриваются системы с любым значением индекса<sup>2</sup>. При этом все указанные выше методы не дают удовлетворительного результата для систем с переменными коэффициентами.

Мы рассматриваем линейные дифференциально-алгебраические системы с переменными коэффициентами. Будем требовать, чтобы ранг A(t) был постоянным. В настоящей работе описан процесс приведения системы к простейшей форме.

Определение. Простейшим видом (или простейшей формой) системы будем называть один из двух видов системы:

$$\begin{pmatrix} I & 0 \\ 0 & 0 \end{pmatrix}$$
  $x' + \begin{pmatrix} \mathbf{B}_{11} & 0 \\ I & 0 \end{pmatrix}$   $x = f$  (1-я простейшая форма)

или 
$$\begin{pmatrix} I & 0 \\ 0 & 0 \end{pmatrix}$$
  $x' + \begin{pmatrix} \mathbf{B}_{11} & 0 \\ 0 & 0 \end{pmatrix}$   $x = f$  (2-я простейшая форма),

где  ${\bf B}_{11}$  — некоторая матрица, зависящая, вообще говоря, от переменной t.

Здесь и далее в этой работе под словами упрощение системы будем понимать приведение системы к простейшему виду, указанному в данном определении, а под словами упрощение матрицы —

приведение матрицы к виду 
$$\begin{bmatrix} I & 0 \\ 0 & 0 \end{bmatrix}$$
 .

Ниже мы перечислим преобразования, которые используются для упрощения системы, после чего опишем общую итерационную схему и затем построим итерационную процедуру по указанной схеме, подробно описав каждый шаг.

# Используемые преобразования

Будем рассматривать класс линейных систем с постоянным рангом. А именно, рассматриваем системы вида

$$A(t)x'(t) + B(t)x(t) = f(t),$$

где  $x \in E_1$ ,  $f(t) \in E_2$ ;  $t \in S \subset \mathbb{R}_1$ ,  $E_1$ ,  $E_2$  — некоторые линейные пространства,

$$A(t), B(t): E_1 \rightarrow E_2,$$

зависящие от t гомоморфизмы линейных пространств, для которых выполнено условие  $^3$  rank A(t) = const.

Сведение системы к простейшему виду осуществляется двумя типами преобразований. Первый тип — умножение системы слева на невырожденную матрицу D. Это преобразование можно рассматривать, как преобразование в пространстве  $E_2$ . При этом система

$$A(t)x'(t) + B(t)x(t) = f(t)$$

переходит в систему

$$DA(t)x'(t) + DB(t)x(t) = Df(t).$$

<sup>&</sup>lt;sup>2</sup>Здесь под индексом понимается число, характеризующее количество формальных операций дифференцирования, необходимых для редукции системы к некоторому простому виду.

<sup>&</sup>lt;sup>3</sup>В дальнейшем (при описании итерационной процедуры) мы наложим также дополнительные условия постоянства ранга.

Второй тип — преобразование в пространстве  $E_1$ . При этом система

$$A(t)x'(t) + B(t)x(t) = f(t)$$

переходит в систему

$$A(t)[Px(t)]' + B(t)[Px(t)] = f(t).$$

Здесь D(t) и P(t) автоморфизмы пространств  $E_1$  и  $E_2$ . Попытаемся теперь с помощью конечного числа таких преобразований выделить дифференциальную часть в нашей системе (1). Преобразование системы с помощью D(t) и P(t) можно описать в виде следующей диаграммы

$$P(t) \begin{vmatrix} E_1 & A \frac{d}{dt} + B \\ E_2 & D(t) \end{vmatrix}$$

$$E_1 \xrightarrow{\tilde{A} \frac{d}{dt} + \tilde{B}} E_2$$

# Упрощение системы

Опишем последовательность шагов по приведению системы к простейшей форме.

- 1. Сначала упрощаем матрицу A(t) (приводим к виду  $\begin{bmatrix} I & 0 \\ 0 & 0 \end{bmatrix}$ ). Это делается достаточно просто (см. ниже).
- Далее преобразуем коэффициент B(t) для приведения его к виду, указанному в определении простейшего вида системы. При этом, вообще говоря, мы уменьшаем размерность системы (исключая получившиеся алгебраические уравнения, разрешенные относительно компонент вектора решения и условия согласования на значения правых частей исходной системы).

Преобразование матрицы B(t) является более сложной процедурой и будет проводиться по некоторой итерационной схеме.

Итак, сначала упрощаем коэффициент A. Именно с помощью преобразований D(t) и P(t) сводим этот коэффициент к виду:

$$A = \begin{bmatrix} I & 0 \\ 0 & 0 \end{bmatrix}. \tag{2}$$

Это можно сделать благодаря тому, что (по условию) матрица A имеет постоянный ранг. Применение преобразований D(t), P(t) к исходной системе, приводит ее к виду

$$DAP x'(t) + [DAP' + DBP] x(t) = \tilde{f}(t), \qquad (3)$$

где 
$$DAP = \begin{bmatrix} I & 0 \\ 0 & 0 \end{bmatrix}$$
. Здесь для простоты аргумент  $t$  у

матриц D, P, A, B опущен и через  $\tilde{f}$  обозначено новое (преобразованное) значение правой части.

Далее нам необходимо привести коэффициент B к достаточно простому виду. И поскольку теперь в ходе дальнейших преобразований нужно сохранять канонический вид (2) коэффициента A, то преобразования D, P должны иметь специальную форму, а именно:

$$D = \begin{bmatrix} D_{11} & D_{12} \\ 0 & D_{22} \end{bmatrix}, \quad P = \begin{bmatrix} P_{11} & 0 \\ P_{21} & P_{22} \end{bmatrix}, \tag{4}$$

причем  $D_{11}P_{11}=1$ , а матрицы  $D_{22}$  и  $P_{22}$  — произвольные и обратимые.

Такая структура и размерность матриц D и P соответствуют разбиению пространства  $E_1$  на подпространства  $E_{11}$ ,  $E_{12}$  и пространства  $E_2$  на подпространства  $E_{21}$ ,  $E_{22}$ :

$$E_1 = E_{11} \oplus E_{12}, \quad E_2 = E_{21} \oplus E_{22},$$

где

$$\begin{split} E_{12} &= \begin{bmatrix} 0 \\ x_2 \end{bmatrix} = \ker A, \quad E_{11} = \begin{bmatrix} x_1 \\ 0 \end{bmatrix} = E_1/\ker A, \\ E_{21} &= \begin{bmatrix} f_1 \\ 0 \end{bmatrix} = \operatorname{im} A, \quad E_{22} &= \begin{bmatrix} 0 \\ f_2 \end{bmatrix} = E_2/\operatorname{im} A. \end{split}$$

При этом получается, что

$$\dim E_{11} = \dim E_{21} = \operatorname{rank} A.$$

Система (3) после преобразований (4) приобретает вид:

$$\begin{pmatrix} I & 0 \\ 0 & 0 \end{pmatrix} x'(t) + \begin{pmatrix} \widetilde{B}_{11} & \widetilde{B}_{12} \\ \widetilde{B}_{21} & \widetilde{B}_{22} \end{pmatrix} x(t) = \widetilde{f}(t), \tag{5}$$

где

$$\widetilde{f}(t) = Df(t);$$

$$\widetilde{B}_{11} = D_{11}P'_{11} + D_{11}B_{11}P_{11} + D_{12}B_{21}P_{11} + D_{11}B_{12}P_{21} + D_{12}B_{22}P_{21};$$

$$\widetilde{B}_{12} = (D_{11}B_{12} + D_{12}B_{22})P_{22};$$

$$\widetilde{B}_{21} = D_{22}B_{21}P_{11} + D_{22}B_{22}P_{21} = D_{22}(B_{21}P_{11} + B_{22}P_{21});$$

$$\widetilde{B}_{22} = D_{22}B_{22}P_{22}.$$
(6)

Для упрощения записи вернемся снова к обозначению B вместо  $\widetilde{B}$  и к f вместо  $\widetilde{f}$ , имея в виду уже преобразованные значения.

Теперь применяем *итерационную процедуру* по упрощению матрицы B.

# 1-й итерационный шаг

Сначала приводим элемент  $B_{22}$  коэффициента B к виду:

$$\begin{bmatrix} I & 0 \\ 0 & 0 \end{bmatrix}. \tag{7}$$

Это можно сделать аналогично тому, как мы упрощали матрицу A, естественно при условии

$$rank B_{22} = const. (8)$$

Сформулируем это условие в терминах исходных коэффициентов A и B. Заметим, что  $B_{22}$  действует в пространствах  $E_{12}$ ,  $E_{22}$ , или, в других обозначениях

$$\ker A \xrightarrow{B|_{\ker A}} E_2/\operatorname{im} A$$
,

 $(B_{22} = B|_{\ker A})$ . Тогда условие (8) можно записать следующим образом:

$$\operatorname{rank}(B|_{\ker A}) = \operatorname{const.}$$

После приведения матрицы  $B_{22}$  к виду (7) и нескольких дополнительных элементарных преобразований получаем систему (с естественными обозначениями)

$$x_{1}' + B_{11}x_{1} + B_{12}^{2}x_{3} = f_{1}(t);$$

$$x_{2} = f_{2}(t);$$

$$B_{21}^{2}x_{1} = f_{3}(t).$$
(9)

При этом для переменной  $x_2$  получаем точное выражение

$$x_2 = f_2(t).$$

Рассмотрим теперь два оставшихся уравнения:

$$\begin{cases} x_1' + \widetilde{B}_{11}x_1 = f_1(t) - B_{12}^2x_3; \\ B_{21}^2x_1 = f_3(t) \end{cases}$$
 (10)

Независимо от значения коэффициента  $B_{12}^2$  компонента  $x_3$  вектора решения выбирается произвольно, а  $x_1$  есть решение дифференциального уравнения, которое должно удовлетворять условию  $B_{21}^2 x_1 = f_3(t)$ . Поэтому решение такой задачи возможно не при любых значениях  $f_i$  в правой части. И на следующих этапах преобразований будут появляться дополнительные условия согласования.

Следующим этапом итерационного шага является приведение  $^4$  блока  $B_{21}^2$  к виду

$$\begin{bmatrix} I & 0 \\ 0 & 0 \end{bmatrix}. \tag{11}$$

И здесь очевидно необходимо наложить следующее условие постоянства ранга:

rank 
$$B_{21}^2 = \text{const.}$$

Заметим, что  $B_{21}^2$  — это матрица отображения  $B|_{[E_1/\ker A]}$ , действие которого можно описать с помощью следующей диаграммы:

$$E_1/\ker A \xrightarrow{B|_{[E_1/\ker A]}} [E_2/\operatorname{im} A]/\operatorname{im} B_{22}.$$

Оператор  $B_{22} = B|_{\ker A}$  был уже определен ранее. Для упрощения  $B_{21}^2$  мы используем преобразования, которые не только сохраняют нормальную форму A, но и текущую форму B. Нетрудно видеть, что эти преобразования D и P должны иметь такую форму:

$$D = \begin{bmatrix} D_{11} & 0 & D_{13} \\ 0 & D_{22} & 0 \\ 0 & 0 & D_{33} \end{bmatrix}, \quad P = \begin{bmatrix} P_{11} & 0 & 0 \\ 0 & P_{22} & 0 \\ P_{31} & 0 & P_{33} \end{bmatrix},$$

и удовлетворять условиям

$$D_{11}P_{11} = I, \quad D_{22}P_{22} = I$$

(матрицы  $D_{33}$  и  $P_{11}$  обратимы). Посмотрим к какому виду мы сведем систему. Представим элементы  $x_1, f_1, f_3$  каждый в виде двух векторов:

$$x_1 = [x_{1a}, x_{1b}], \quad f_1 = [f_{1a}, f_{1b}], \quad f_3 = [f_{3c}, f_{3d}].$$

 $<sup>^4 \</sup>mbox{Если на некотором шаге итерации блок } B_{21}^2 = 0,$  то это означает конец итерационного процесса.

Тогда полученная система запишется в виде:

$$\begin{cases} x_{1a}' + B_{11}^{aa} x_{1a} + B_{11}^{ab} x_{1b} + B_{12}^{a} x_{3} = f_{1a}, \\ x_{1b}' + B_{11}^{ba} x_{1a} + B_{11}^{bb} x_{1b} + B_{12}^{b} x_{3} = f_{1b}, \\ x_{2} = f_{2}, \\ x_{1a} = f_{3c}, \\ 0 = f_{3d}. \end{cases}$$
(12)

Теперь подставим значение  $x_{1a}$  в первое уравнение и в результате получим:

1) новую дифференциально-алгебраическую систему относительно переменной  $x_{1b}$ 

$$\begin{cases} x_{1b}' + B_{11}^{bb} x_{1b} = f_{1b}^* \; , \\ B_{11}^{ab} x_{1b} = f_{1a}^* \; ; \end{cases}$$

2) условие согласования для правой части

$$f_{3d} = 0;$$

несколько алгебраических уравнений, из которых однозначно определяются некоторые компоненты решения:

$$\begin{cases} x_2 = f_2; \\ x_{1a} = f_{3c}. \end{cases}$$

Введя обозначения

$$y = \begin{bmatrix} x_{1b} \\ x_{1a} \end{bmatrix} \quad \text{w} \quad g = \begin{bmatrix} f_{1b} - B_{11}^{ba} f_{3c} - B_{12}^{b} x_3 \\ f_{1a} - f_{3c}^{'} - B_{11}^{aa} x_{1a} - B_{12}^{a} x_3 \end{bmatrix},$$

получим новую систему

$$\begin{pmatrix} I & 0 \\ 0 & 0 \end{pmatrix} y' + \begin{pmatrix} B_{11}^{bb} & 0 \\ B_{11}^{ab} & 0 \end{pmatrix} y = g.$$
 (13)

Таким образом, после первого шага итерации мы пришли к системе, в которой главный коэффициент A имеет требуемую каноническую форму

 $\begin{bmatrix} I & 0 \\ 0 & 0 \end{bmatrix}$ , и при этом уменьшили количество диффе-

ренциальных уравнений в системе. На этом заканчивается 1-й итерационный шаг.

# 2-й итерационный шаг

Будем упрощать коэффициент  $\begin{bmatrix} B_{11}^{bb} & 0 \\ B_{11}^{ab} & 0 \end{bmatrix}$  по уже рассмотренной итерационной процедуре, в которой каждый следующий шаг итерации начинается с упрощения блока  $^5$   $B_{22}$ , приводя его к виду  $\begin{bmatrix} I & 0 \\ 0 & 0 \end{bmatrix}$ , или, если  $B_{22} = 0$ , как в данном случае, с упрощения блока  $B_{21}^2$ . Например, в системе (13) этому блоку отвечает блок  $B_{11}^{ab}$ , который и будем приводить к простому виду. При этом, естественно, надо потребовать, чтобы

$$rank B_{11}^{ab} = const. (14)$$

Заметим, что  $B_{11}^{ab}$  — это матрица отображения, действие которого можно представить с помощью следующей диаграммы:

$$[E_1/\ker A]/\ker B_{21}^2 \xrightarrow{B_{11}^{ab}} \operatorname{im} A \cap \operatorname{im} B_{21}^2.$$

Сделаем важное замечание. В процессе приведения системы к простейшей форме мы последовательно разбиваем исходную матрицу коэффициента B системы (1) на подматрицы:

- сначала (после упрощения матрицы A) в (5) на подматрицы B<sub>11</sub>, B<sub>12</sub>, B<sub>21</sub>, B<sub>22</sub>;
- затем (после приведения  $B_{22}$  к виду (7)) в свою очередь разбиваются  $B_{12}$  (на нулевую подматрицу и подматрицу  $B_{12}^2$ ) и  $B_{21}$  (на нулевую подматрицу и подматрицу  $B_{21}^2$ ).

И с этого момента до последнего шага итерации мы последовательно разбиваем на подматрицы блок  $B_{11}$  системы (5). Сначала, например, после приведения  $B_{21}^2$  к виду (11)  $B_{11}$  разбивается на подматрицы  $B_{11}^{aa}$ ,  $B_{11}^{ab}$ ,  $B_{11}^{ba}$ ,  $B_{11}^{bb}$  так, что dim  $B_{11}^{aa}$  = rank  $B_{21}^2$ , и так далее. Запишем эту последова-

<sup>&</sup>lt;sup>5</sup>Мы используем введенные выше обозначения для элементов матрицы коэффициента при алгебраической части системы.

тельность разбиения в виде схемы (используя другие индексы для подматриц):

$$B_{11} \rightarrow \begin{bmatrix} B_{01} & B_{02} \\ \hline B_{03} & B_{11} & B_{12} \\ \hline B_{03} & B_{21} & B_{22} \\ \hline B_{13} & B_{23} & \end{bmatrix},$$
 (15)

где в принятых обозначениях, например,  $B_{02}$  соответствует  $B_{11}^{ab}$  в системе (12). Разбиение при этом осуществляется так, что

$$\dim B_{(i)1} = \operatorname{rank} B_{(i-1)2}.$$

Например,  $\dim B_{11} = \operatorname{rank} B_{02}$ . Очевидно, что итерация заканчивается тогда, когда

$$\dim B_{m1} = \operatorname{rank} B_{m2}$$

и (m + 2)-й шаг будет последним шагом итерации.

В диаграмме (15) выделением отмечены те блоки, постоянства рангов которых мы будем требовать на соответствующих шагах итерации. Если усилить эти условия и потребовать, чтобы

$$rank B_{11} = const, (16)$$

то для сведения системы (1) к простейшему виду условие (16) будет достаточным, но не будет необходимым.

# Завершение итерации

Итерационная процедура заканчивается на m-м шаге, где m такое, что  $B_{(m-2)2} = I$  или  $B_{(m-2)2} = 0$ . При этом все оставшиеся дифференциальные и алгебраические уравнения в исходной системе будут сведены либо к условиям согласования на значения правых частей

$$f_i = 0$$
,

либо к алгебраическим уравнениям вида

$$x_j = f_k$$
.

Систему на этом последнем шаге итерационного процесса будем называть финальной системой.

Таким образом, мы доказали следующую теорему.

**Теорема.** Произвольная линейная дифференциально-алгебраическая система типа (1) может быть сведена к простейшему виду, если коэффициенты A и В этой системы удовлетворяют следующим условиям:

1) 
$$rank A = const;$$

- 2)  $\operatorname{rank}(B|_{\ker A}) = \operatorname{const};$
- 3) rank  $(B|_{[E_1/\ker A]} = \text{const};$
- 4) rank  $B_{11} = \text{const.}$

Следствие. Из условий, сформулированных в теореме, можно сделать следующие выводы:

- 1) условия 1, 2 и 3 являются необходимыми и достаточными для сведения системы, к виду (13);
- 2) чтобы сформулировать необходимые и достаточные условия, надо ослабить условие 4, а именно, потребовать выполнения условий  $\operatorname{rank} B_{i2} = \operatorname{const}$ , где i=0,1,...,m; m:  $\operatorname{rank} B_{(m-1)2} = \operatorname{rank} B_{((m)2)}$ .

Пример. Рассмотрим пример конкретной системы и покажем, к какому результату можно придти в ходе упрощения по построенной выше итерационной схеме. Пусть исходная система имеет вид:

$$y_{1}' + \varphi_{11}(t)y_{1} + \varphi_{13}(t)y_{3} = f_{1}(t);$$

$$y_{2} = f_{2}(t);$$

$$\varphi_{31}(t)y_{1} = f_{3}(t).$$
(17)

Все компоненты  $x_1$ ,  $x_2$ ,  $x_3$  — скаляры. Как видно из системы (17), коэффициент A уже имеет каноническую форму, коэффициент B тоже имеет простой вид в соответствии с итерационной схемой. Поэтому в ходе упрощения и решения такой системы нам не потребуется проделывать все этапы (кроме последнего) на 1-м шаге итерации. Результат упрощения будет следующим:

а) если  $\phi_{31} = 0$ , то имеем финальную систему вида:

$$\begin{cases} y_1' + \varphi_{11}y_1 = f_1 - \varphi_{13}y_3; \\ f_3 = 0; \\ y_2 = f_2, \end{cases}$$

где  $f_3 = 0$  — условие согласования;  $y_3$  — выбирается произвольно;  $y_1 = y_1(t, C)$  — решение дифференциального уравнения;

б) если  $\phi_{31} \neq 0$ , то при  $\phi_{13} = 0$  получим систему, в которой будет только два алгебраических уравнения и одно условие согласования, а дифференциальная часть будет полностью отсутствовать:

$$\begin{cases} y_1 = \tilde{f}_3, \\ y_2 = f_2, \\ f_1 - \tilde{f}_3' - \varphi_{11} \tilde{f}_3 = 0. \end{cases}$$

Наконец, при  $\phi_{13} \neq 0$  все компоненты решения определяются однозначно:

$$\begin{cases} y_3 = \frac{f_1}{\varphi_{13}} - \frac{\tilde{f}_3'}{\varphi_{13}} - \frac{\varphi_{11}\tilde{f}_3}{\varphi_{13}}, \\ y_1 = \tilde{f}_3, \\ y_2 = f_2. \end{cases}$$

#### Заключение

Наиболее часто решение дифференциально-алгебраических систем (с переменными или постоянными коэффициентами) большой размерности необходимо при расчете, анализе и реконструировании фрагментов моделируемых электронных цепей (а также систем электронных цепей в целом). Метод, предложенный в настоящей работе, формализует процесс упрощения дифференциально-алгебраических систем. В этом методе используются не только линейные подстановки компонентов решения, которые обычно составляют основную часть циклов методов численного решения таких систем (например, методы Рунге — Кутта), но и дифференциальные подстановки. Это, в свою очередь, позволяет уменьшить количество дифференциальных уравнений в системе. Предложенный метод может быть использован в качестве алгоритма для численного решения задачи по упрощению.

В настоящей работе рассматривались системы дифференциально-алгебраических уравнений следующего типа:

$$A(t)\dot{x} + B(t)x = f$$

с накладываемыми на коэффициенты A(t) и B(t) системы условиями rank A = const, rank  $(B|_{\ker A}) =$ 

= const, rank 
$$B|_{[E_1/\ker A]}$$
 = const, rank  $B_{11}^{ab}$  = const.

Был предложен способ упрощения системы — получения простейшей формы, т. е. такого вида системы, при котором она, во-первых, имеет наименьшее количество дифференциальных уравнений, и во-вторых, матрица B имеет вид

$$\begin{bmatrix} B_{11} & 0 \\ I & 0 \end{bmatrix}$$
 или  $\begin{bmatrix} B_{11} & 0 \\ 0 & 0 \end{bmatrix}$ .

В данном методе использована специальная итерационная процедура преобразования матрицы В. Итерация заканчивается тогда, когда мы приходим к финальной системе. Еще раз отметим тот факт, что предложенная схема применима для дифференциально-алгебраических систем с любым значением индекса.

Автор статьи выражает большую признательность и благодарность профессору Виктору Евгеньевичу Шаталову за ценные советы и оказанную помощь в работе над статьей.

# Список литературы

 Tischendorf C., März R. Recent results in solving differentialalgebraic equations in circuit simulation // SIAM Journal. Scientific Computation. 1997. 18 (1): 139—159.

 Марьяшкин Н. Я., Овчинников Е. Э., Белаш В. О., Глебов А. Л. Решение дифференциально-алгебраических систем схемотехнического анализа БИС. М.: ВЦ АН СССР, 1991.

Нерретер В. Расчет электрических цепей на персональной ЭВМ. М.: Энергоатомиздат, 1991.

 Tischendorf C. Solution of Index-2 Differential Algebraic Equations and its Application in Circuit Simulation. Дис., 1994.

 Günther M., Feldman U. CAD-modelling of electric circuits. A classification with respect to structure and index. 1995. (рукопись).

 Griepentrog E. Index reduction methods for differential-algebraic equations // Inst. für Mathem. Берлин: Humboldt-Univ. 1992. 92-1, P. 14—29.

Gear G. W. Differential-algebraic equations index transformations // SIAM J. Sci. Stat. Comput. 1993. 9: 39—47.

Gear G. W. The simultaneous numerical solution of differential-algebraic equations // IEEE Trans. Circuit Theory. CT-18. 1971.
 P. 89—95.

 Gear G. W., Petzold L. R. ODE methods for the solution of differential-algebraic systems // SIAM J. Num. Anal. 1984. 21 (4). P. 716—728.

 Brenan K. E., Campbell S. L., Petzold L. R. Numerical solution of initial value problems in differential-algebraic equations. Elviser Science Publishing Co. Inc., 1989.

 März R., Griepentrog E. Differential-algebraic equations and their numerical treatment // Teubner Texte zur Mathematik. 1986.
 Leipzig. Teubner.

Lewis F. L. A survey of linear singular systems // Circuits Systems Signal Process. 1986. 5 (1): 3—36.

 März R., Griepentrog E. Basic properties of some differentialalgebraic equations // Zeitschrift für Analysis und ihre Anwendungen. 1989. 8 (1): 25—40.

 März R. On quasilinear index-2 differential-algebraic equations // Fachbereich Mathematik, 1992.

 März R. Canonical projectors for linear differential-algebraic equations // Computers Math. Aplic. 1996. 31 (4).

 Шубин Е. А., Егоров А. Е. Линейные дифференциальные уравнения в частных производных // Современные проблемы математики: фундаментальные исследования. Т. 30. М.: ВИНИ-ТИ, 1987.

 Шабат Б. В., Лаврентьев М. А. Методы теории функции комплексного переменного. М.: Наука, Изд. 4, 1973.

 Михлин С. Г. Линейные уравнения в частных производных. М.: Наука, 1977.

Hansen B. Linear differential-algebraic equations // Fachbereich Mathematik. Humboldt-Univ., 1992. 92-1. P. 30—38.

März R. Extra-ordinary differential-algebraic equations. Attempts to analysis of differential-algebraic systems // Fachbereich Mathematik. 1997. (93-13).

 Winkle R., Lamour R., März R. How floquet theory applies to differential-algebraic equations // Journal of mathematical analysis and applications. 1996. 217: 372—394.

 März R. Criteria for the trivial solution of differential-algebraic equations with small nonlinearities to be asymptotically stable // Fachbereich Mathematik. 1997. (97-13).

 März R., Balla K. Transfer of boundary value conditions for daes of index-1 // SIAM Journal. Numerical Analysis. 1996. 33 (6): 2318—2322.

 Shatalov V. Ye., Sternin B. Yu. Borel-Laplace Transform and Asymptotic Theory (Introduction to Ressurgent Analysis) // CRC-Press, 1995.

 Левинсон Н., Коддингтон Э. А. Теория обыкновенных дифференциальных уравнений. М.: Изд-во иностранной литературы, 1958.